

Техніка і технології

УДК 622.276.1/4

СТРУКТУРОУТВОРЮВАЧ ЯК ВОДОІЗОЛЯЦІЙНИЙ МАТЕРІАЛ У СВЕРДЛОВИНАХ

В. С. Бойко, Р. В. Грибовський, В. М. Чучина

ІФНТУНГ, 76019, м. Івано-Франківськ, вул. Карпатська, 15, тел. (03422) 42195
e-mail: public@ifdtung.if.ua

Изложены результаты лабораторного изучения битумного структурообразователя в качестве дисперсного тампонирующего материала.

Серед багатьох проблем у нафтогазовидобуванні, що потребують першочергового вирішення, є проблема обмеження відбору пластової води, особливо на багатопластових об'єктах шляхом вдосконалення технології і техніки ізоляційних робіт, пошуку і розробки нових тампонажних матеріалів. У даній роботі обґрунтовано можливість використання структуроутворювача як тампонажного матеріалу для здійснення водоізоляційних робіт у нафтових і газових свердловинах.

Нафтовим колекторам тією чи іншою мірою властива тріщинуватість. Тріщинна проникність може мати другорядну роль у загальній проникності, як на більшості родовищ України. Так, коефіцієнт проникності продуктивного пласта Долинського родовища за гідродинамічними даними відрізняється від коефіцієнта проникності пор (кернові дані) в 4,2 рази. При цьому коефіцієнт тріщинної проникності більший від коефіцієнта порової проникності в 3,2 рази, а коефіцієнт проникності тріщин – вже в 1285 разів [1], тобто більший на декілька порядків. За наявності такої неоднорідності колектора доцільно використовувати подрібнені (дисперсні, гранульовані) ізоляційні матеріали, здатні поступати тільки у високорозкриті тріщини (за відсутності проникання в малорозкриті тріщини і пори).

Нами проведено лабораторні дослідження з вивчення властивостей бітумного структуроутворювача з метою застосування його як ізоляційного матеріалу для обмеження припливу води у видобувних свердловинах, регулювання або зменшення в окремих інтервалах приймальності нагнітальних свердловин, створення потоковідхилювальних бар'єрів у міжвердловинних зонах пласта. Структуроутворювач бі-

There have been stated the results of the laboratory research of bitumen structure-forming agent as for dispersed cementing material.

тумний марки "БСО-И" (ТУ 390147009-037-90) є продуктом окислювальної дегідрополіконденсації прямогінних гудронів із деяких нафт Дніпровсько-Донецької западини.

Гранулометричний склад структуроутворювача визначали ситовим методом. Результати ситового аналізу і їх спрацювання подано в таблиці 1, а криві розподілу – на рис. 1, де N – кумулятивна крива, n – диференціальна крива. Емпіричну щільність розподілу розраховували діленням маси i -ї фракції на величину інтервалу, що відповідає діаметру частинок. Встановлено, що розмір частинок зазвичай становить 0,17-2 мм, середній ситовий діаметр частинок – 0,864 мм, середнє квадратичне відхилення – 0,84 мм, коефіцієнт вариації – 0,972, ексцес – 3,775.

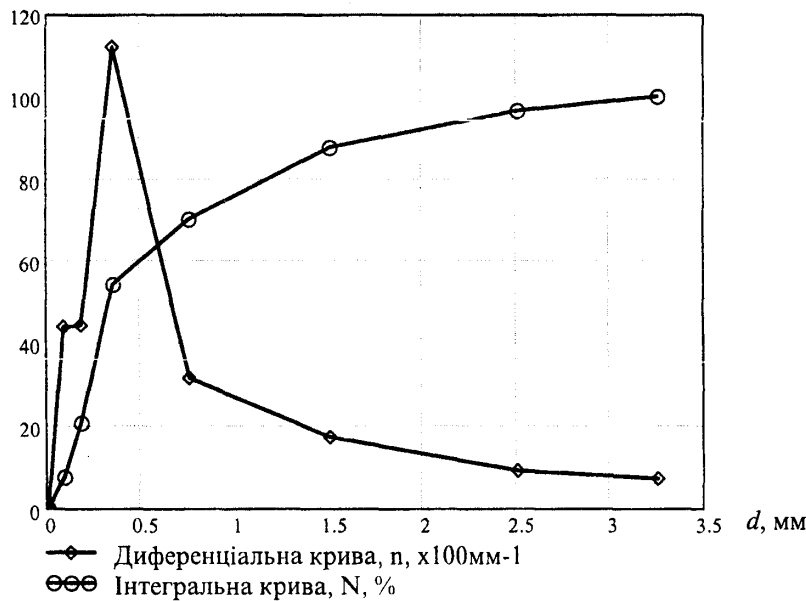
Для визначення дійсної густини сипких матеріалів найбільш поширеним і точним є пікнометричний метод [2]. Досліди проводили при кімнатній температурі згідно з методикою. Густину розраховували за формулою

$$\rho = \frac{(M_2 - M) \rho_{\text{сп}}}{(M_1 + M_2) - (M + M_3)}, \quad (1)$$

де: ρ – густина гранульованого матеріалу, kg/m^3 ; M_1 – маса пікнометра, заповненого етиловим спиртом, kg ; M_2 – маса пікнометра з довільною кількістю етилового спирту і матеріалу, kg ; M – маса пікнометра з довільною кількістю етилового спирту, kg ; M_3 – маса пікнометра, заповненого етиловим спиртом і матеріалом, kg ; $\rho_{\text{сп}}$ – густина етилового спирту, kg/m^3 .

Таблиця 1 - Результати ситового аналізу бітумного структуроутворювача

Номери сит	Розмір комірок сит, мм	Частоти масового складу фракцій, $\times 10^{-2}$	Накопичені частоти мас ситового складу фракцій $N, \times 10^{-2}$	Розмір діаметрів частинок, мм	Середній класів діаметрів частинок $d, \text{мм}$	$\ln d$	Величина інтервалу діаметра частинок, мм	Шільльність розподілу діаметра частинок $n, \text{мм}^{-1}$
1	3,0	3,5	100,00	3,0	3,25	1,18	0,5	7,0
2	2,0	8,91	96,5	2,0-3,0	2,5	0,92	1,0	8,91
3	1,0	17,36	87,59	1,0-2,02	1,5	0,405	1,0	17,36
4	0,5	15,85	70,23	0,5-1,0	0,75	-0,29	0,5	31,70
5	0,2	33,57	54,38	0,2-0,5	0,35	-1,05	0,3	111,9
6	0,17	13,35	20,81	0,17-0,2	0,185	-1,69	0,03	44,5
7	0,17	7,46	7,46	0,17	0,85	2,46	0,17	43,88

 $N, \%, n, \times 10^2 \text{ мм}^{-1}$ Рисунок 1 – Інтегральна N і диференціальна n емпіричні криві розподілу діаметрів d частинок структуроутворювача

Дійсна густина структуроутворювача становила $1025 \text{ кг}/\text{м}^3$.

Для визначення позірної густини 100 мл ущільненого структуроутворювача в циліндрі зважували на технічній вазі (з точністю до 0,01 г) і ущільнювали шар до припинення зміни об'єму. За різницю мас наповненого структуроутворювачем і порожнього циліндрів розраховували позірну (насипну) густину, яка становила $522 \text{ кг}/\text{м}^3$.

Вивчення розчинення структуроутворювача здійснювали за методикою для визначення розчинності бітумів [3]. Розчинність структуроутворювача x в % обчислювали за формулою

$$x = \frac{G_1 - G_2}{G_1} \cdot 100, \quad (2)$$

де: G_1 – наважка досліджуваного структуроутворювача, г; G_2 – маса осаду на фільтрі, г.

Окрім того, ми провели дослідження розчинності структуроутворювача в ксилолі, хлороформі, бензині, конденсаті (табл. 2). Результати свідчать про добру розчинність структуроутворювача в ароматичних вуглеводнях і галогенопохідних (ксилол, хлороформ), а в гасі і нафті спостерігається повне його розчинення.

Для визначення маси частинок, що спливли, брали наважку структуроутворювача 10 г, висушену до постійної маси, засипали в склянку ємністю 0,5 л і додавали 300 мл дистильованої води. Перемішували протягом 3 хв. скляною паличкою і дали суміші відстоїтися протягом 30 хв. Частинки, що спили, відфільтрували на лійці Бюхнера. Осад сушили до постійної маси, зважували на аналітичній вазі з точністю $\pm 0,0001$ г.

Процент частинок, що спливли, розраховували за формулою

Таблиця 2 – Розчинність структуроутворювача

Розчинник	Маса розчинника, г	Маса структуроутворювача, г	Маса осаду, г	Розчинність, %
Ксилол	100	5	0,0984	98,032
Хлороформ	100	5	0,09	98,2
Бензин	100	5	1,695	33,9
Конденсат	100	5	2,7065	54,13

$$\alpha = \frac{g_1}{g_2} \cdot 100, \quad (3)$$

де: g_1 – вхідна наважка структуроутворювача, г; g_2 – маса частинок, що спливли, г.

Маса частинок, що спливають, становить 35,5%.

У результаті проведених досліджень згідно зі стандартною методикою щодо залежності рухомості τ структуроутворювача від температури встановлено, що вона змінюється неоднозначно (рис. 2, крива 1). Так, внаслідок зміни температури від 20 до 120°C рухомість зменшується спочатку різко (за 20-40°C), відтак – повільно. Це пояснюється тим, що зростом температури матеріал ще зберігає свою грануляруну структуру, відбувається часткове розм'якшення і злипання гранул між собою, а відтак він починає втрачати свою грануляруну структуру і перетворюється в пластичну масу. За 120°C рухомість мінімальна і становить 0,2 mm. З підвищенням температури від 120 до 160°C рухомість збільшується і сягає 1,5 mm, оскільки структуроутворювач на цьому інтервалі температур далі розм'якшується і топиться. У ході подальшого підвищення температури до 180°C рухомість практично не змінюється, оскільки структуроутворювач перебуває в розтопленому і розм'якшеному стані.

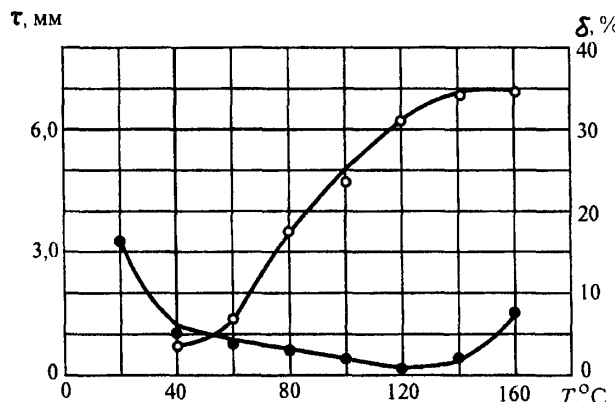


Рисунок 2 – Залежність рухомості τ (1) і усадки δ (2) структуроутворювача від температури T

Нами вивчалась також усадка структуроутворювача під дією температури. Усадку визначали за зміною лінійного розміру висоти об'єму структуроутворювача в циліндрі за різних температур і робили перерахунок на об'єм. Усадку структуроутворювача характеризували коефіцієнтом зменшення об'єму

$$b = \frac{V_1}{V_2} \quad (4)$$

і коефіцієнтом об'ємної усадки, %

$$\beta = \frac{V_1 - V_2}{V_1} \cdot 100 = \frac{b - 1}{b} \cdot 100, \quad (5)$$

де V_1 , V_2 – відповідно початковий і кінцевий (за заданої температури) об'єми матеріалу.

Дані експерименту подано в табл. 3.

Таблиця 3 – Зміна усадки структуроутворювача

Температура, °C	δ, %	B
20	–	–
40	3,49	1,036
60	6,94	1,074
80	17,24	1,209
100	24,18	1,319
120	31,38	1,457
140	34,54	1,527
160	34,51	1,527

Зміна рухомості підтверджується і залежністю усадки структуроутворювача від температури (крива 2 на рис. 2). Побудовану за експериментальними даними криву можна розділити на три ділянки. Перша ділянка – усадка незначна, інтервал температур від 20 до 40°C. Пояснюються це частковою деформацією гранул і їх ущільненням. Друга ділянка – від 40 до 140°C. Під дією ваги циліндра відбувається часткова втрата його гранулярної структури. Коефіцієнт об'ємної усадки становить від 7 до 34,54%. За температури понад 140°C коефіцієнт об'ємної усадки практично постійний і дорівнює 34,5 %.

Також визначали пенетрацію для суміші структуроутворювача і нафти. Результати експериментів подано в табл. 4. Експерименти показали, що пенетрація (рухомість) сухого (без нафти) структуроутворювача становить 3,25 mm, а за невеликого вмісту нафти – мінімальна внаслідок поверхневого злипання окремих гранул. В міру збільшення кількості нафти в суміші починається набухання, розм'якшення і розчинення гранул, що супроводжується ростом пенетрації.

Дослідженням гранулометричного складу, дійсної та позірної густин, частки частинок, що спливли, розчинності, рухомості (сипкості) і зміни об'єму залежно від температури та умов

гідротранспорту підтверджено можливість його використання для ізоляції припливу пластової води.

Таблиця 4 – Пенетрація суміші структуроутворювача і нафти

Номера сумішей	Вміст суміші, %		Пенетрація, мм
	структуро-утворювач	нафта	
1	100	0	3,25
2	80	30	0,57
3	60	40	5,6
4	40	60	10,3

Таким чином, експериментальне вивчення властивостей структуроутворювача дало змогу запропонувати його як водсізоляційний матеріал для тампонування високопровідних тріщин у видобувних і нагнітальних свердловинах, для створення міжсвердловинних потоковідхилювальних бар'єрів. Великий інтервал зміни розмірів частинок (0,17-2 мм) і велика гранулометрична неоднорідність дають змогу рекомендувати його для тампонування різнопорозіткіх тріщин великої провідності. Він може перено-

ситися водою на великі відстані (густина 1025 кг/м³). У разі невеликого надходження нафти в зону тампонування створюється злипла маса, а при вмісті нафти понад 20% відбувається розчинення і вимивання тампонуючого матеріалу, що виключає перекриття нафтопровідних тріщин. Температура його застосування не повинна перевищувати 140-160°C. За більш високих температур пенетрація розтопу наближається до пенетрації (рухомості, сипкості) структуроутворювача за нормальніх умовах. За температур вище 40°C різко знижується його рухомість, що обмежує застосування структуроутворювача в районах з високою температурою повітря.

Література

- Бойко В.С. Об определении проницаемости трещин трещиновато-пористой среды. – Івано-Франковськ: ІФІНГ, 1988. – 8 с. – Деп. в УкрНИИНТИ 25.05.88, №1288-Ук 88.
- Физические свойства горных пород (Петрофизика): Справочник геофизика. – М.: Недра, 1984. – 455 с.
- Белянин Б.В., Эрих В.Н. Технический анализ нефтепродуктов и газа. – Л.: Химия, 1970. – 260 с.

УДК 622.691

ТЕРМОГАЗОДИНАМІЧНІ ОСНОВИ СТВОРЕННЯ ДІАГНОСТИЧНОЇ МОДЕЛІ ЦІЛІНДРА ПОРШНЕВОГО КОМПРЕСОРА

В. Я. Грудз, В. В. Костів, Я. В. Грудз

IФНТУНГ, 76019, м. Івано-Франківськ, вул. Карпатська, 15, тел. (03422) 42157

e-mail: public@ifdtung.if.ua

**УМГ "Прикарпаттрансгаз", 76000, м. Івано-Франківськ, вул. Незалежності, 15,
тел. (03422) 42195, e-mail: public@ifdtung.if.ua**

Рассмотрены вопросы создания математической модели цилиндра поршневого компрессора с учетом возможных перетоков сквозь неплотности. Сделаны предпосылки создания на основе предложенного математического аппарата диагностической модели поршневого компрессора.

В циліндрі поршневого компресора відбувається сукупність термодинамічних процесів, що називається циклом і об'єднує послідовно минаючі процеси: розширення робочого тіла з мертвого простору, наповнення, стиски, нагнітання. У циклі відбувається обмін із зовнішнім середовищем у вигляді тепла, роботи і маси робочого тіла. Корисний масообмін, тобто такий, що відповідає функціональному призначенню компресора, проходить у процесах наповнення і нагнітання. Шкідливий масообмін, тобто та-кий, що відповідає нефункціональному призначенню компресора, проходить при будь-якому процесі циклу і визначається перетоками через негерметичності ущільнень.

The questions of creation of mathematical model of the cylinder of a piston compressor are reviewed taking into account of possible overflow through leakiness. Are made the necessary prerequisites for creation on the basis of the proposed mathematical vehicle of diagnostic model of a piston compressor.

Негерметичність ущільнень може створити отвір, щілина, що конструктивно не передбачені, негерметичність оцінюється кількісно розміром площини перерізу отвору або щілини, скорочено – перетином негерметичності. Переріз негерметичності є функцією процесу: якщо процес циклу передбачає "відключення" ущільнення, наприклад, відкриття клапана, то переріз негерметичності відкліченого клапана повинен дорівнювати нулю; в інших процесах розмір перерізу негерметичності залежить від посадки ущільнюючого елемента, перепаду тисків на ущільненні, маси рухомих елементів, пружин характеристик деталей. Таким чином, розмір перерізу негерметичності – змінний,